

НАНОФОКУСИРОВКА**О фокусировке света на нановершине металлического микроострия, расположенного над плоскостью диэлектрика или металла**

А.Б.Петрин

Исследована фокусировка энергии электромагнитного излучения оптического диапазона частот в наноразмерную пространственную область в окрестности нановершины металлического микроострия, расположенного вблизи диэлектрической или металлической плоскости. Такая фокусировка возникает при симметричном схождении к нановершине поверхностной плазмонной ТМ волны. Граница металла вблизи нановершины аппроксимируется параболоидом вращения. Разработан численный метод нахождения электрического поля в окрестности вершины острия на основе метода моментов. Результаты расчетов показали, что, по сравнению с одиночным острием, наличие плоскости приводит к дополнительной концентрации электрического поля вблизи нановершины.

Ключевые слова: нанофокусировка, поверхностные плазмоны, плазмонный волновод.

1. Введение

Нанофокусировка световой энергии на вершине микроострия – важнейшее явление, лежащее в основе перспективных нанотехнологических приложений. Одним из проявлений нанофокусировки является необычайно резкое возрастание интенсивности поверхностной плазмонно-поляритонной волны, симметрично возбуждаемой у основания металлического конического микроострия, при ее симметричном схождении к нановершине [1–3]. Это явление объясняется тем, что на геометрически идеальном металлическом острие может существовать осесимметричная электромагнитная стоячая волна с сингулярностью электрического поля на вершине [4, 5]. Как показывают эксперименты [6, 7], эта волна может эффективно возбуждаться сходящейся к вершине поверхностной плазмонно-поляритонной ТМ волной с той же осевой симметрией поля. Наличие сингулярности электрического поля хорошо объясняется в квазистатическом приближении, которое выполняется в окрестности нановершины металлического микроострия.

Реальная вершина микроострия не идеальна и имеет закругление. В работах [8, 9] для нахождения распределения электрического поля на закругленной вершине одиночного микроострия поверхность вершины аппроксимировалась параболоидом вращения и задача была решена в параболоидальной системе координат. Было показано, что характерный размер фокального распределения на вершине убывает пропорционально радиусу ее закругления, что и объясняет нанофокусировку.

В настоящей работе исследуется вопрос о том, как будет изменяться фокальное распределение поля, если вершина острия будет находиться вблизи плоской поверх-

ности материала (например при сканировании поверхности острием).

Следует отметить, что увеличение электромагнитного оптического поля на острых краях и остриях уже рассматривалось в связи с другими задачами [10–12]. Кроме того, попытки решения задачи нахождения поля на вершине острия вблизи плоской структуры уже предпринимались [13]. Однако для упрощения в [13] рассматривалась задача, в которой острие имеет форму гиперболоида вращения, расположенного над полупространством, граница которого соответствовала координатной поверхности сферической системы координат. В такой постановке задачи при фиксированной геометрии острия (при фиксированных значениях фокусного расстояния гиперболоида и радиуса вершины) невозможно независимо изменять расстояние до плоской границы (это расстояние однозначно определяется геометрией острия).

Использованный в настоящей работе метод, как будет показано ниже, свободен от указанного недостатка.

2. Распределение электрического поля на нановершине металлического микроострия, расположенного вблизи плоской границы, в квазистатическом приближении.**Постановка задачи**

Рассмотрим металлическое острие с наноразмерным радиусом закругления вершины R . Пусть поверхность острия вблизи вершины описывается параболоидом вращения $z = R/2 - (x^2 + y^2)/(2R)$ (осесимметричным относительно оси z) (рис.1). Пусть также вблизи острия находится перпендикулярная плоскость, определяемая уравнением $z = z_p$, где $z_p \geq R/2$. Комплексные диэлектрические проницаемости металла острия, внешней однородной среды и полубесконечной среды при $z \geq z_p$ обозначим ϵ_m , ϵ_d и ϵ_p соответственно.

При решении задачи будем использовать комплексное представление полей с временной зависимостью вида $\exp(-i\omega t)$, где ω – циклическая частота. Задачу вблизи

А.Б.Петрин. Объединенный институт высоких температур РАН, Россия, 125412 Москва, ул. Ижорская, 13, стр.2;
e-mail: a_petrin@mail.ru

Поступила в редакцию 14 марта 2016 г., после доработки – 9 июля 2016 г.

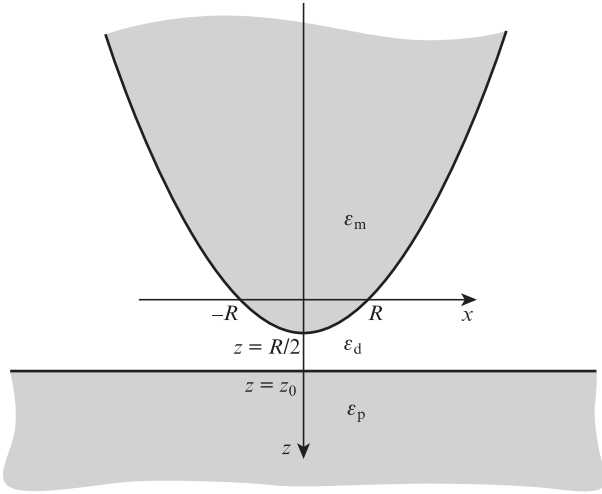


Рис.1. Геометрия задачи.

вершины можно решать в квазистатической формулировке [8], при которой потенциал электрического поля Φ удовлетворяет уравнению Лапласа $\Delta\Phi = 0$, а нормальные и тангенциальные составляющие электрического поля на поверхности острия и на плоскости должны соответствовать известным граничным условиям, а именно:

$$\varepsilon_d E_{dn} = \varepsilon_m E_{mn} \text{ и } E_{dt} = E_{mt} \quad (1a)$$

на поверхности острия и

$$\varepsilon_p E_{pn} = \varepsilon_d E_{dn} \text{ и } E_{pt} = E_{dt} \quad (16)$$

на плоскости.

Будем искать осесимметричное решение уравнения Лапласа, имеющее максимум поля на вершине острия и соответствующее фокусировке на нем поверхностной плазмонной ТМ волны.

Кроме того, для автоматического удовлетворения граничных условий на плоскости (16) будем использовать метод зеркальных изображений. Суть его в применении к рассматриваемой задаче состоит в следующем: пусть потенциал зарядов, находящихся на параболоидальном металлическом острие в пространстве с диэлектрической проницаемостью ε_d , описывается функцией $\Phi_{tip}(\mathbf{r}) = \Phi_{tip}(x, y, z)$, где радиус-вектор $\mathbf{r} = (x, y, z)$ проведен из начала координат в точку определения потенциала. В этом случае выражение для потенциала индуцированных зарядов на плоской границе диэлектриков в пространстве с диэлектрической проницаемостью ε_d можно записать в виде [14]

$$\Phi_{ref}(\mathbf{r}) = \frac{\varepsilon_p - \varepsilon_d}{\varepsilon_p + \varepsilon_d} \Phi_{tip}(\mathbf{r}_{ref}),$$

где $\mathbf{r}_{ref} = (x, y, 2z_0 - z)$. Тогда в области, заполненной диэлектриком с проницаемостью ε_d , полный потенциал

$$\begin{aligned} \Phi_d(\mathbf{r}) &= \Phi_{tip}(\mathbf{r}) + \Phi_{ref}(\mathbf{r}) \\ &= \Phi_{tip}(x, y, z) - \frac{\varepsilon_p - \varepsilon_d}{\varepsilon_p + \varepsilon_d} \Phi_{tip}(x, y, 2z_0 - z). \end{aligned} \quad (2)$$

Потенциал всех зарядов острия и индуцированных на плоской границе зарядов (из уравнений Максвелла сле-

дует, что внутри однородного диэлектрика нет поляризационных зарядов, они могут быть только на границе) в полупространстве, заполненном диэлектриком с проницаемостью ε_p , можно представить в виде

$$\Phi_p(\mathbf{r}) = \frac{2\varepsilon_d}{\varepsilon_p + \varepsilon_d} \Phi_{tip}(\mathbf{r}) = \frac{2\varepsilon_d}{\varepsilon_p + \varepsilon_d} \Phi_{tip}(x, y, z). \quad (3)$$

Правильность формул (2), (3) следует из теоремы единственности и из автоматического выполнения условий (16) на границе полупространства.

Найдем теперь общее выражение для потенциала зарядов острия $\Phi_{tip}(\mathbf{r})$, удовлетворяющее уравнению Лапласа в однородном диэлектрическом пространстве (без плоскости) снаружи и внутри острия, причем на границе должны выполняться условия (1a). Введем параболоидальные координаты [15] (или систему параболических координат вращения) α, β, ψ , которые связаны с прямоугольными декартовыми координатами x, y, z соотношениями

$$x = c\alpha\beta \cos \psi, \quad y = c\alpha\beta \sin \psi, \quad z = \frac{1}{2}c(\beta^2 - \alpha^2), \quad (4)$$

где c – масштабный постоянный множитель. В рассматриваемой системе координат (рис.1) уравнение Лапласа для электрического потенциала Φ внутри и снаружи острия при аксиальной симметрии (Φ не зависит от ψ) можно записать следующим образом [15]:

$$\Delta\Phi = \frac{1}{c^2(\alpha^2 + \beta^2)} \left(\frac{\partial^2 \Phi}{\partial \alpha^2} + \frac{\partial^2 \Phi}{\partial \beta^2} + \frac{1}{\alpha} \frac{\partial \Phi}{\partial \alpha} + \frac{1}{\beta} \frac{\partial \Phi}{\partial \beta} \right) = 0. \quad (5)$$

Общее решение (5) известно [15] и определяется выражением

$$\Phi = \sum [B_1 J_0(p\alpha) + B_2 Y_0(p\alpha)] [C_1 I_0(p\beta) + C_2 K_0(p\beta)], \quad (6)$$

где p, B_1, B_2, C_1, C_2 – константы; J_0, Y_0 – функции Бесселя первого и второго рода нулевого порядка; I_0, K_0 – модифицированные функции Бесселя первого и второго рода нулевого порядка. Суммирование проводится по решениям с различными значениями констант.

Пусть граница параболоидального острия определяется уравнением $\beta = \beta_0$. Из (4) следует, что граница острия $\beta = \beta_0$ в декартовых координатах x, y, z описывается уравнением $z = c\beta_0^2/2 - (x^2 + y^2)/(2c\beta_0^2)$. Несложно показать, что радиус кривизны вершины острия $R = c\beta_0^2$.

В дальнейшем будем использовать осесимметричные решения уравнения Лапласа. Поэтому для выполнения граничных условий на всей поверхности вращения острия будет достаточно удовлетворить их на линии пересечения граничной поверхности острия с любой плоскостью симметрии, проходящей через ось z . В качестве такой плоскости выберем плоскость xz . Легко показать, что в нашем случае достаточно выполнения граничных условий только на границе пересечения полуплоскости $y = 0$ при $x \geq 0$ и поверхности параболоидального острия.

Имея в виду общность дальнейшего изложения, перейдем на плоскости xz к безразмерным координатам $\tilde{x} = x/R, \tilde{z} = z/R$ и $\tilde{\alpha} = \alpha/\beta_0, \tilde{\beta} = \beta/\beta_0$. Безразмерные параболоидальные $(\tilde{\alpha}, \tilde{\beta})$ и декартовы (\tilde{x}, \tilde{z}) координаты на плоскости $\tilde{x}\tilde{z}$ связаны между собой соотношениями

$$\tilde{\alpha} = (\sqrt{\tilde{x}^2 + \tilde{z}^2} - \tilde{z})^{1/2} \text{ и } \tilde{\beta} = \tilde{x}(\sqrt{\tilde{x}^2 + \tilde{z}^2} - \tilde{z})^{-1/2}$$

при положительных \tilde{x} [8]. В этих координатах граница острия будет определяться выражением $\tilde{z} = 1/2 - \tilde{x}^2/2$, а уравнение Лапласа (5) в безразмерных координатах будет иметь вид

$$\frac{1}{(\tilde{\alpha}^2 + \tilde{\beta}^2)} \left(\frac{\partial^2 \Phi}{\partial \tilde{\alpha}^2} + \frac{\partial^2 \Phi}{\partial \tilde{\beta}^2} + \frac{1}{\tilde{\alpha}} \frac{\partial \Phi}{\partial \tilde{\alpha}} + \frac{1}{\tilde{\beta}} \frac{\partial \Phi}{\partial \tilde{\beta}} \right) = 0.$$

Если из решения уравнения Лапласа будет найден осесимметричный потенциал, т.е. если он будет функцией только $\tilde{\alpha}$ и $\tilde{\beta}$, то выражения для тангенциальных и нормальных размерных компонент поля с двух сторон границы диэлектрика и металла можно записать в виде

$$E_{dr} = -\frac{1}{R\sqrt{\tilde{\alpha}^2 + \tilde{\beta}^2}} \frac{\partial \Phi_d}{\partial \tilde{\alpha}}, \quad E_{dn} = -\frac{1}{R\sqrt{\tilde{\alpha}^2 + \tilde{\beta}^2}} \frac{\partial \Phi_d}{\partial \tilde{\beta}},$$

$$E_{mr} = -\frac{1}{R\sqrt{\tilde{\alpha}^2 + \tilde{\beta}^2}} \frac{\partial \Phi_m}{\partial \tilde{\alpha}}, \quad E_{mn} = -\frac{1}{R\sqrt{\tilde{\alpha}^2 + \tilde{\beta}^2}} \frac{\partial \Phi_m}{\partial \tilde{\beta}}.$$

Нормируем потенциал на его значение U в максимуме поля на вершине острия, тогда можно перейти от размерного к безразмерному потенциалу $\tilde{\Phi} = \Phi/U$ и от размерных составляющих полей к их безразмерным величинам:

$$\tilde{E}_{dr} = \frac{R}{U} E_{dr} = -\frac{1}{\sqrt{\tilde{\alpha}^2 + \tilde{\beta}^2}} \frac{\partial \tilde{\Phi}_d}{\partial \tilde{\alpha}},$$

$$\tilde{E}_{dn} = \frac{R}{U} E_{dn} = -\frac{1}{\sqrt{\tilde{\alpha}^2 + \tilde{\beta}^2}} \frac{\partial \tilde{\Phi}_d}{\partial \tilde{\beta}},$$

$$\tilde{E}_{mr} = \frac{R}{U} E_{mr} = -\frac{1}{\sqrt{\tilde{\alpha}^2 + \tilde{\beta}^2}} \frac{\partial \tilde{\Phi}_m}{\partial \tilde{\alpha}},$$

$$\tilde{E}_{mn} = \frac{R}{U} E_{mn} = -\frac{1}{\sqrt{\tilde{\alpha}^2 + \tilde{\beta}^2}} \frac{\partial \tilde{\Phi}_m}{\partial \tilde{\beta}}.$$

В нормированных декартовых координатах в плоскости $\tilde{x}\tilde{z}$ компоненты нормированного электрического поля $\tilde{E}_{\tilde{x}} = -\partial \tilde{\Phi} / \partial \tilde{x}$, $\tilde{E}_{\tilde{z}} = -\partial \tilde{\Phi} / \partial \tilde{z}$. В дальнейшем нам будет удобно рассматривать потенциал $\tilde{\Phi}_{\text{tip}}$ и его градиент как функции $\tilde{\alpha}, \tilde{\beta}$, а $\tilde{\Phi}_{\text{ref}}$ и его градиент – как функции \tilde{x} и \tilde{z} в плоскости $\tilde{x}\tilde{z}$.

Итак, исходя из общего решения (6), будем искать решение граничной задачи для электрического поля в окрестности острия, предполагая, что выражения для потенциалов $\tilde{\Phi}_{\text{tip}}$ снаружи ($\beta \geq \beta_0$) и внутри ($\beta \leq \beta_0$) металлического острия имеют соответственно вид

$$\tilde{\Phi}_{\text{tipd}} = \sum_{j=1}^N A_j J_0(q_j \tilde{\alpha}) K_0(q_j \tilde{\beta}),$$

$$\tilde{\Phi}_{\text{tipm}} = \sum_{j=1}^N B_j J_0(q_j \tilde{\alpha}) I_0(q_j \tilde{\beta}),$$
(7)

где A_j, B_j и q_j – константы. Величины q_j выбирались в виде $q_j = \mu_j/L$, где μ_j – первые N корней уравнения Бесселя $J_0(\mu_j) = 0$, а L – некоторое безразмерное расстояние от вершины, на котором должны удовлетворяться граничные условия на поверхности острия. В пределе $N \rightarrow \infty$ система функций $J_0(q_j \tilde{\alpha})$ с указанными q_j на отрезке $0 \leq \tilde{\alpha} \leq L$ образует полную систему функций [16].

Отметим, что выбор функциональных зависимостей (7) из общего решения (6) обусловлен естественными тре-

бованиями к сфокусированному вблизи вершины полю (которые и выделяют зависимости однозначным образом):

1) снаружи острия потенциал поля должен уменьшаться при удалении от его поверхности, быть конечным и максимальным на вершине острия;

2) внутри металла острия потенциал должен быть конечным в начале координат.

Кроме того, электрический потенциал должен быть непрерывным при переходе через границу.

Подставляя (7) в (2), получаем в плоскости $\tilde{x}\tilde{z}$ потенциал в диэлектрике

$$\tilde{\Phi}_d(\tilde{x}, \tilde{z}) = \sum_{j=1}^N A_j J_0(q_j (\sqrt{\tilde{x}^2 + \tilde{z}^2} - \tilde{z}))^{1/2}$$

$$\times K_0(q_j \tilde{x} (\sqrt{\tilde{x}^2 + \tilde{z}^2} - \tilde{z})^{-1/2})$$

$$- \frac{\epsilon_p - \epsilon_d}{\epsilon_p + \epsilon_d} \sum_{j=1}^N A_j J_0(q_j [\sqrt{\tilde{x}^2 + (2\tilde{z}_0 - \tilde{z})^2} - (2\tilde{z}_0 - \tilde{z})]^{1/2})$$

$$\times K_0(q_j \tilde{x} [\sqrt{\tilde{x}^2 + (2\tilde{z}_0 - \tilde{z})^2} - (2\tilde{z}_0 - \tilde{z})]^{-1/2}),$$
(8)

где $\tilde{z}_0 = z_0/R$ – нормированная координата плоской границы. Аналогично в металле острия в плоскости $\tilde{x}\tilde{z}$ потенциал можно представить в виде

$$\tilde{\Phi}_m(\tilde{x}, \tilde{z}) = \sum_{j=1}^N B_j J_0(q_j (\sqrt{\tilde{x}^2 + \tilde{z}^2} - \tilde{z}))^{1/2}$$

$$\times I_0(q_j \tilde{x} (\sqrt{\tilde{x}^2 + \tilde{z}^2} - \tilde{z})^{-1/2}).$$
(9)

На границе острия (при $\tilde{z} = 1/2 - \tilde{x}^2/2$) единичные векторы нормали и касательной описываются формулами

$$\mathbf{n} = e_{\tilde{x}} \left(\frac{\tilde{x}}{\sqrt{1 + \tilde{x}^2}} \right) + e_{\tilde{z}} \left(\frac{1}{\sqrt{1 + \tilde{x}^2}} \right),$$

$$\boldsymbol{\tau} = e_{\tilde{x}} \left(\frac{1}{\sqrt{1 + \tilde{x}^2}} \right) + e_{\tilde{z}} \left(-\frac{\tilde{x}}{\sqrt{1 + \tilde{x}^2}} \right).$$

Тогда граничные условия для нормальных и тангенциальных составляющих полей на поверхности острия можно записать, используя $\tilde{E}_{\tilde{x}} = -\partial \tilde{\Phi} / \partial \tilde{x}$ и $\tilde{E}_{\tilde{z}} = -\partial \tilde{\Phi} / \partial \tilde{z}$, соответственно в виде

$$-\epsilon_d \left(\frac{\tilde{x}}{\sqrt{1 + \tilde{x}^2}} \frac{\partial \tilde{\Phi}_d}{\partial \tilde{x}} + \frac{1}{\sqrt{1 + \tilde{x}^2}} \frac{\partial \tilde{\Phi}_d}{\partial \tilde{z}} \right) \Bigg|_{\tilde{z}=1/2-\tilde{x}^2/2}$$

$$+ \epsilon_m \left(\frac{\tilde{x}}{\sqrt{1 + \tilde{x}^2}} \frac{\partial \tilde{\Phi}_m}{\partial \tilde{x}} + \frac{1}{\sqrt{1 + \tilde{x}^2}} \frac{\partial \tilde{\Phi}_m}{\partial \tilde{z}} \right) \Bigg|_{\tilde{z}=1/2-\tilde{x}^2/2} = 0, \quad (10)$$

$$-\left(\frac{1}{\sqrt{1 + \tilde{x}^2}} \frac{\partial \tilde{\Phi}_d}{\partial \tilde{x}} - \frac{\tilde{x}}{\sqrt{1 + \tilde{x}^2}} \frac{\partial \tilde{\Phi}_d}{\partial \tilde{z}} \right) \Bigg|_{\tilde{z}=1/2-\tilde{x}^2/2}$$

$$+ \left(\frac{1}{\sqrt{1 + \tilde{x}^2}} \frac{\partial \tilde{\Phi}_m}{\partial \tilde{x}} - \frac{\tilde{x}}{\sqrt{1 + \tilde{x}^2}} \frac{\partial \tilde{\Phi}_m}{\partial \tilde{z}} \right) \Bigg|_{\tilde{z}=1/2-\tilde{x}^2/2} = 0. \quad (11)$$

Если подставить в (10), (11) выражения (8), (9), то получим линейные уравнения относительно A_j и B_j , которые можно представить в виде

$$-\varepsilon_d \sum_{j=1}^N A_j f_j(q_j, \tilde{x}) + \varepsilon_m \sum_{j=1}^N B_j g_j(q_j, \tilde{x}) = 0, \quad (12)$$

$$-\sum_{j=1}^N A_j h_j(q_j, \tilde{x}) + \sum_{j=1}^N B_j t_j(q_j, \tilde{x}) = 0. \quad (13)$$

Ради экономии места, не будем здесь выписывать выражения для функций $f_j(q_j, \tilde{x})$, $g_j(q_j, \tilde{x})$, $h_j(q_j, \tilde{x})$ и $t_j(q_j, \tilde{x})$ в явном виде, которые получаются при указанной тривиальной подстановке.

Уравнения (12), (13) решались методом моментов [17]. С учетом того, что на поверхности острия (при $\tilde{z} = 1/2 - \tilde{x}^2/2$) величины $\tilde{\alpha} = \tilde{x}$ и $\tilde{\beta} = 1$, в качестве весовых функций на дуге границы при $0 \leq \tilde{x} \leq L$ были выбраны функции $W_i = J_0(q_i, \tilde{x})$, которые на отрезке $0 \leq \tilde{x} \leq L$ в пределе $N \rightarrow \infty$ образуют полную систему функций со скалярным произведением

$$\langle W_i, F_j \rangle = \int_0^L W_i \tilde{x} F_j d\tilde{x}.$$

Тогда после умножения уравнений (12) и (13) скалярно на функции W_i ($i = 1, \dots, N-1$) были получены $2N-2$ линейных алгебраических уравнения с $2N$ неизвестными. Для нахождения однозначного решения добавлены еще два уравнения: приравнены к единице потенциалы снаружи и внутри острия на его вершине. В результате решения полученной системы $2N$ уравнений определялся потенциал электрического поля во всем пространстве, нормированный на единицу на вершине острия.

Указанный выше выбор весовых функций позволяет удовлетворить в пределе $N \rightarrow \infty$ граничным условиям на поверхности острия при $0 \leq \tilde{x} \leq L$. Величина L в расчетах выбиралась достаточно большой по сравнению с размером области, в которой проводились вычисления полей.

Наконец, следует еще раз обобщить логику получения выражений (8), (9) как единственного решения в окрестности вершины острия и в зазоре между вершиной острия и плоскостью. Есть две причины возрастания электрического поля световой волны при приближении к вершине острия. Первая – это схождение световой волны, возбуждаемой в виде поверхностной плазмонной (симметричной относительно оси) ТМ моды [1], к вершине острия. Симметричное схождение поверхностной волны обуславливает формирование симметричного поля стоячей волны в окрестности вершины. Вторая причина – это возрастание поля на вершине любого острия. В окрестности нановойршины применимо квазистационарное приближение, требующее чтобы электрический потенциал удовлетворял уравнению Лапласа, общее решение которого дается формулой (6). Указанное возрастание поля и наличие его максимума на вершине однозначно выделяют из (6) единственный вид решения для стоячей волны (7) с максимумом поля на вершине. В случае одиночного острия решение дается единственным членом с фиксированным q . При наличии плоской границы полупространства получается ряд с различными значениями q_j . Отметим, что, как показано в [18], ТЕ мода не может существовать на рассматриваемых в данной работе частотах. Там же приведены доказательства применимости квазистационарного приближения.

3. Исследование фокальных распределений электрического потенциала и электрического поля у вершины микроострия вблизи плоской поверхности материала

Численные расчеты были проведены для серебряного острия вблизи плоской границы диэлектрического или металлического материала. Диэлектрическая проницаемость металла острия приближенно описывается формулой Друде $\varepsilon_m = 1 - \omega_p^2/(\omega^2 + i\omega\Gamma)$, где ω_p – плазменная частота металла, а Γ – коэффициент, учитывающий потери. Для серебра были выбраны параметры $\omega_p \approx 1.36 \times 10^{16} \text{ c}^{-1}$ и $\Gamma \approx 2 \times 10^{14} \text{ c}^{-1}$ [19]. Удобно выражать ε_m через нормированную частоту $\tilde{\omega} = \omega/\omega_p$ и нормированный коэффициент поглощения $\gamma = \Gamma/\omega_p$ по формуле $\varepsilon_m = 1 - 1/(\tilde{\omega}^2 + i\tilde{\omega}\gamma)$. Для серебра $\gamma = 0.01471$.

В настоящей работе исследовалось также распределение максимального значения электрического поля за период колебаний E_a по пространственным точкам плоскости $\tilde{x}\tilde{z}$. Метод вычислений заключался в следующем [20]. Сначала в рассматриваемой точке определялись комплексные компоненты $\tilde{E}_{\tilde{x}} = -\partial\tilde{\Phi}/\partial\tilde{x}$ и $\tilde{E}_{\tilde{z}} = -\partial\tilde{\Phi}/\partial\tilde{z}$ комплексного вектора электрического поля. Затем находились действительные составляющие компонент $\text{Re}[\tilde{E}_{\tilde{x}} \exp(-i\omega t)]$ и $\text{Re}[\tilde{E}_{\tilde{z}} \exp(-i\omega t)]$ в некоторый момент времени t . И наконец, вычислялось максимальное значение электрического поля за период

$$E_a = \max_{0 \leq \omega t \leq 2\pi} \sqrt{\{\text{Re}[\tilde{E}_{\tilde{x}} \exp(-i\omega t)]\}^2 + \{\text{Re}[\tilde{E}_{\tilde{z}} \exp(-i\omega t)]\}^2}.$$

На рис.2,*a* и *b* показаны распределения модуля электрического потенциала $|\tilde{\Phi}|$ и максимального поля E_a для серебряного острия, рассчитанные по описанному методу, на частоте $\tilde{\omega} = 0.26053$, соответствующей длине волны в свободном пространстве $\lambda = 532 \text{ нм}$, на которой проводились эксперименты в работе [1]. Острие находилось в среде с $\varepsilon_d = 1$ на расстоянии $\Delta\tilde{z} = 0.5$ ($0.5R$) от полупространства, заполненного диэлектриком с $\varepsilon_p = 4$. Распределения были нормированы на единицу в максимуме поля на вершине острия. Распределение поля E_a (рис.2,*б*) в области вершины острия более детально показано на рис.2,*в*. Для сравнения на рис.2,*г* приведено распределение $|\tilde{\Phi}|$ для одиночного острия без диэлектрического полупространства рядом.

Из сравнения рис.2,*a* и *г* видно, что наличие полупространства с диэлектриком (граница $\tilde{z}_0 = 1$) усиливает фокусировку поля в окрестности вершины. Таким образом, в экспериментах по сканированию поверхности микроострием со сфокусированной поверхностной плазмонной волной на нановойршине (для исследования рамановского рассеяния молекул на поверхности [1]) наличие полупространства с диэлектриком усиливает нанофокусировку электрического поля в окрестности вершины острия и ближайшей от него точки на плоской границе.

На рис.3 приведены те же распределения, что и на рис.2, но на более высокой частоте ($\tilde{\omega} = 0.62252$). На рис.3,*a* показано распределение модуля электрического потенциала $|\tilde{\Phi}|$ для серебряного острия, расположенного на том же расстоянии $\Delta\tilde{z} = 0.5$ от плоской границы полупространства с $\varepsilon_p = 4$, на рис.3,*б* – распределение максимального поля E_a в области фокусировки, на рис.3,*в* – более детальное распределение E_a (рис.3,*б*) в области фокуса, на рис.3,*г* – распределение $|\tilde{\Phi}|$ для одиночного острия.

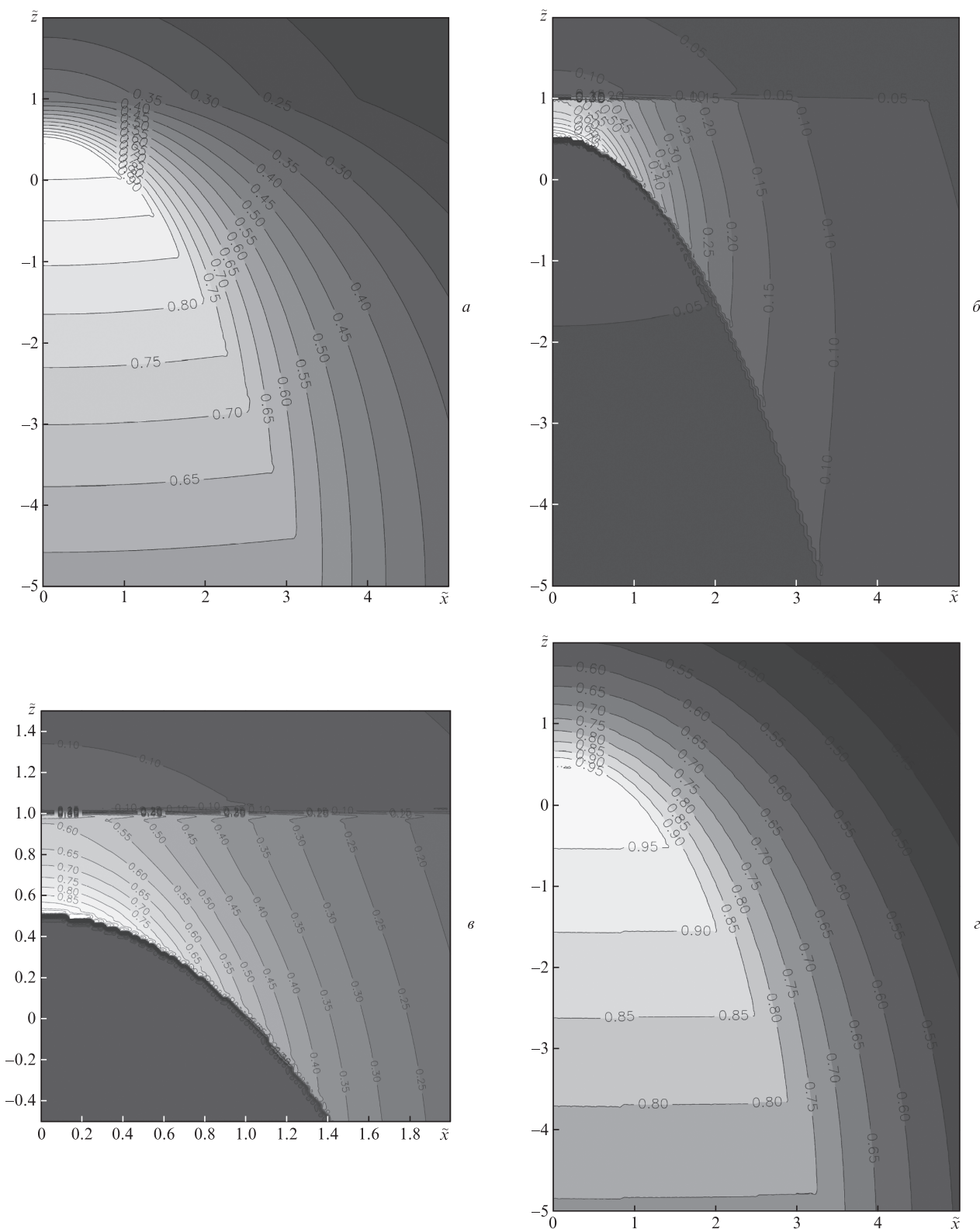


Рис.2. Фокальные распределения модуля электрического потенциала $|\Phi|$ (а) и максимального поля E_a (б, в) для серебряного острия вблизи плоской поверхности $\tilde{z}_0 = 1$ полупространства с $\epsilon_p = 4$ на частоте $\tilde{\omega} = 0.26053$. Для сравнения показано распределение $|\Phi|$ для одиночного острия (г).

Из рис.3,г видно, что для одиночного острия первый узел потенциала с большой точностью соответствует точке с координатами $\tilde{x} = 1, \tilde{z} = 0$, для этого специально выбиралась частота $\tilde{\omega} = 0.62252$. На рис.3,а мы видим, что первый узел сместился ближе к фокусу, т.е. фокальное пятно при наличии диэлектрического полупространства

оказалось меньше, а фокусировка стала чуть более острой. Очевидно, что это обусловлено более высокой диэлектрической проницаемостью полупространства ($\epsilon_p = 4$ против $\epsilon_p = 1$ для одиночного острия).

Также были проведены расчеты для серебряного острия, расположенного над полупространством, заполнен-

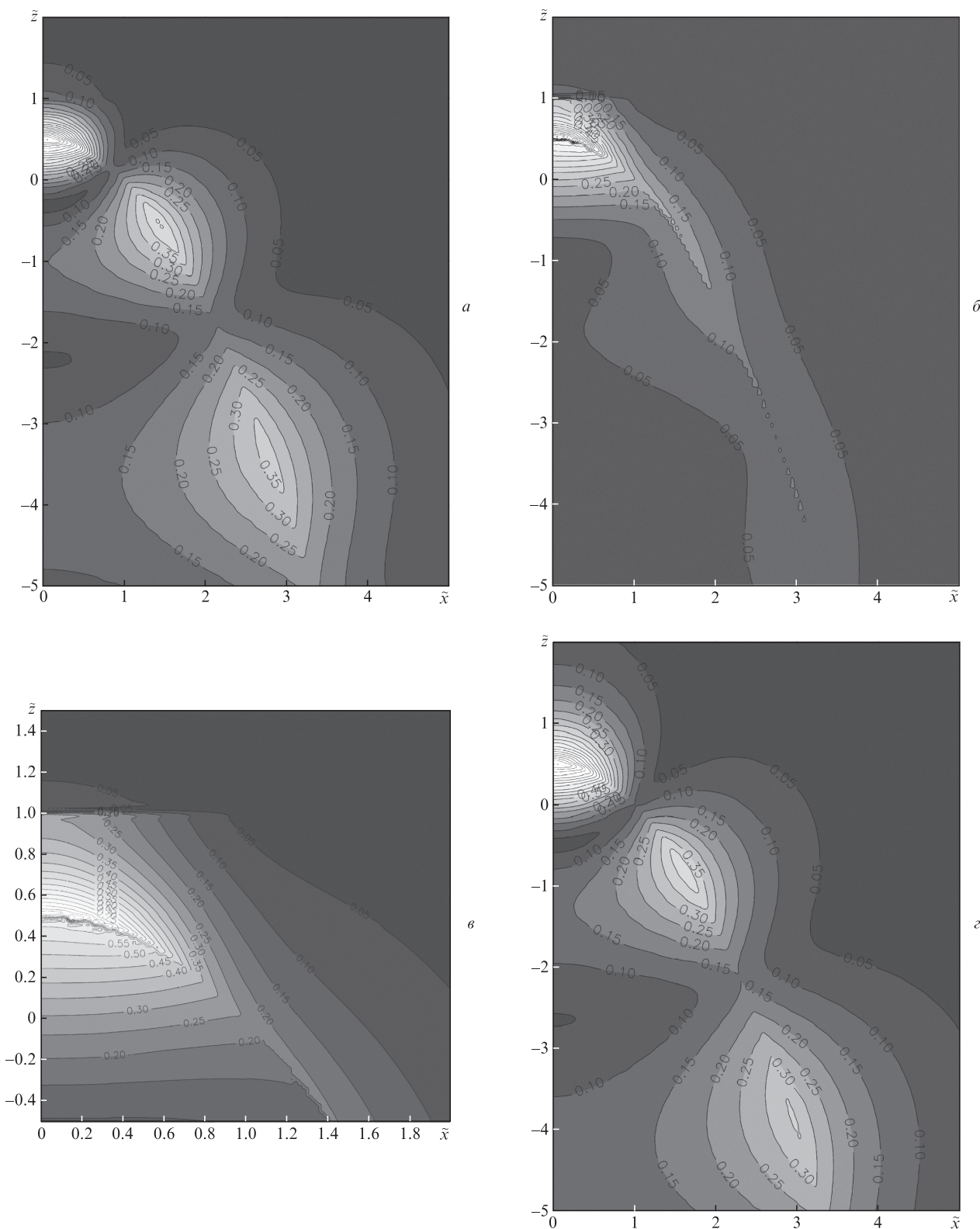


Рис.3. То же, что и на рис.2, но для частоты $\tilde{\omega} = 0.62252$.

ным серебром, в той же геометрии на частоте $\tilde{\omega} = 0.62252$. На рис.4 показано распределение E_a в области фокуса. Видно, что нанофокусировка не исчезала при наличии металлической плоскости. Таким образом, метод исследования поверхности с помощью сфокусированной на нановойршине микроострия поверхностной плазмонной волны применим для исследования структур как на диэлектрической, так и на металлической поверхности.

4. Заключение

Разработан метод нахождения фокального распределения электромагнитного поля вблизи нановойршины металлического микроострия. Результаты расчетов показали, что наличие плоской поверхности материала у вершины острия несколько усиливает фокусировку. Установлено, что присутствие металлической поверхности вблизи

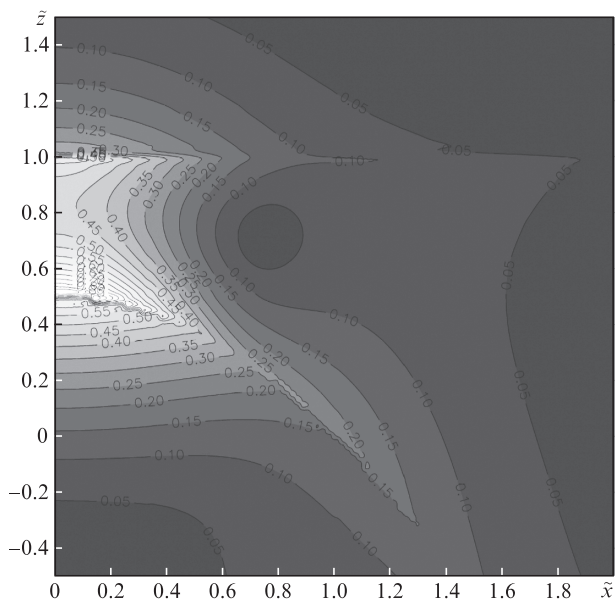


Рис.4. Фокальное распределение максимального поля E_a для серебряного острья вблизи плоской поверхности $\tilde{z}_0 = 1$ полупространства, заполненного серебром, на частоте $\tilde{\omega} = 0.62252$.

зи острья не ухудшает его фокусирующих свойств; это позволяет исследовать рамановское (комбинационное) рассеяние молекул, находящихся на плоской металлической поверхности в области фокусировки.

Работа выполнена при финансовой поддержке гранта Министерства образования и науки РФ (научный про-

ект «Создание электрооптических градиентных тонкопленочных структур для прецизионной оптики и аналитического приборостроения»; соглашение о предоставлении субсидии с Министерством образования и науки РФ от 23.10.2014 г. № 14.579.21.0066, уникальный идентификатор RFMEFI 57914 X 0066).

1. De Angelis F. et al. *Nat. Nanotechnol.*, **5**, 67 (2010).
2. Frey H.G., Keilmann F., Kriele A., Guckenberger R. *Appl. Phys. Lett.*, **81**, 5030 (2002).
3. Stockman M.I. *Phys. Rev. Lett.*, **93**, 137404 (2004).
4. Petrin A.B. *High Temp.*, **50** (1), 15 (2012).
5. Klimov V., Guzatov D. *Appl. Phys. A*, **89**, 305 (2007).
6. Giugni A., Allione M., Torre B., et al. *J. Opt.*, **16**, 114003 (2014).
7. Giugni A., Torre B., Toma A., et al. *Nat. Nanotechnol.*, **8** (11), 845 (2013).
8. Петрин А.Б. *Успехи прикладной физики*, **3** (3), 236 (2015).
9. Петрин А.Б. *Квантовая электроника*, **45** (7), 658 (2015).
10. Klimov V., Guzatov D. *Appl. Phys. A*, **89**, 305 (2007).
11. Klimov V. *Nanoplasmonics* (Singapore: Pan Stanford Publishing, 2014).
12. Климов В. *Наноплазмоника* (М.: Физматлит, 2010).
13. Passian A., Ritchie R.H., Lereu A.L., Thundat T., Ferrell T.L. *Phys. Rev. B*, **71**, 115425 (2005).
14. Сивухин Д.В. *Общий курс физики. Т.III. Электричество* (М.: Физматлит, 2004).
15. Анго А. *Математика для электро- и радиоинженеров* (М.: Наука, 1967).
16. Никифоров А.Ф., Уваров В.Б. *Специальные функции математической физики* (М.: Наука, 1984).
17. *Математика. Новое в зарубежной науке. Вып. 29. Численные методы теории дифракции* (М.: Мир, 1982).
18. Петрин А.Б. *Прикладная физика*, №1, 11 (2016).
19. Fox M. *Optical Properties of Solids* (New York: Oxford University Press, 2003).
20. Петрин А.Б. *Квантовая электроника*, **46** (2), 159 (2016).